

การศึกษาและวิเคราะห์สมรรถนะของมอเตอร์เหนี่ยวนำ 18.5 กิโลวัตต์ด้วยแบบจำลองไฟฟ้าในตัวอิเล็กทรอนิกส์

บุญญาฤทธิ์ วงศ์อนันต์^{*} และสมพร เรืองสินชัยวนิช

ภาควิชาวิศวกรรมไฟฟ้าและคอมพิวเตอร์ คณะวิศวกรรมศาสตร์ มหาวิทยาลัยนเรศวร พิษณุโลก 65000

E-mail: maxaee_^{*}@hotmail.com , sompornru@yahoo.co.uk

บทคัดย่อ – บทความนี้นำเสนอการศึกษาและวิเคราะห์สมรรถนะของมอเตอร์เหนี่ยวนำ (Induction Motor) ขนาด 18.5 กิโลวัตต์ (kW) ด้วยวิธีไฟฟ้าในตัวอิเล็กทรอนิกส์ การวิเคราะห์ถูกแม่นยอดเยี่ยม 3 ส่วน ได้แก่ การสั่นสะเทือน, ความหนาแน่นแม่สัน แรงแม่เหล็กไฟฟ้าและความร้อนที่เกิดขึ้นในมอเตอร์ ด้วยแบบจำลองโปรแกรม ANSYS ถูกเลือกใช้ในการจำลอง เพราะเป็นโปรแกรมที่ได้รับการยอมรับอย่างกว้างขวางในงานด้านการจำลองสำหรับสาขาวิทยาศาสตร์และวิศวกรรมศาสตร์ ปัจจุบันการวิเคราะห์ด้วยแบบจำลองเป็นแนวทางที่สำคัญสำหรับการพัฒนามอเตอร์ไฟฟ้าแบบต่างๆ เพราะมีราคาถูกและมีประสิทธิภาพ ผลที่ได้จากการวิเคราะห์เหล่านี้ จะเป็นแนวทางที่สำคัญต่อผู้ต้องการนำมอเตอร์ไฟฟ้าขนาดใหญ่ไปใช้งานในสภาพแวดล้อมต่างๆ

คำสำคัญ : มอเตอร์เหนี่ยวนำ, แบบจำลองไฟฟ้าในตัวอิเล็กทรอนิกส์

Abstract – This paper presents a study and analysis of the performance of an induction motor 18.5 kW by using the finite element method. The analysis is divided into 3 parts, including the vibration, magnetic flux density and heat that occurred in the motor prototype. The ANSYS program is selected for simulation because it is widely accepted in simulation work for science and engineering areas. Nowadays, simulated-based analysis is significant for developing electrical machines because of its low cost and effectiveness. The analysis results will be major guideline to whoever wants to utilize the large-size electric motor in different conditions.

Keywords : Induction Motor, Finite Element Method: FEM

1. บทนำ

มอเตอร์ไฟฟ้าเหนี่ยวนำได้รับความนิยมมากที่สุดชนิดหนึ่งในบรรดา.motors ไฟฟ้า ซึ่งใช้งานในการขับเคลื่อนเครื่องจักรและระบบการผลิตในงานอุตสาหกรรม เพราะมอเตอร์ชนิดนี้ มีประสิทธิภาพและความปลอดภัยสูง ความน่าเชื่อถือสูง รวมทั้งราคาไม่แพง แต่อย่างไรก็ตาม เมื่อมีการใช้งานมอเตอร์นี้ไปนานๆ ย่อมมีการเสื่อมสภาพไปตามกาลเวลา และสภาพแวดล้อมที่มอเตอร์นี้ถูกใช้งาน การเดียบของมอเตอร์นี้ค่อนข้างจะมีความสำคัญมากในเครื่องจักรหรือระบบการทำงานของการผลิตทั้งระบบ ถ้าหากไม่สามารถตรวจสอบสภาพของมอเตอร์ได้ หรือไม่รู้สภาพความเสียหายที่กำลังเกิดขึ้นในมอเตอร์ได้ล่วงหน้า อาจนำไปสู่ความเสียหายที่มากขึ้นจนอาจเกิดความเสียหายโดยเด็ดขาดไม่ลังเล ซึ่งส่งผลกระทบทำให้ต้องหยุดการทำงานของมอเตอร์อย่างคาดไม่ถึง ซึ่งส่งผลกระทบทำให้ต้องหยุดการทำงานของเครื่องจักรทั้งหมดหรือระบบการผลิตทั้งหมด ส่งผลต่อการผลิตสินค้าหรือผลิตภัณฑ์ตามแผนการผลิตที่ได้วางแผนไว้ตามตารางการผลิตกล่าวคือ สร้างความเสียหาย เช่น การเสียผลผลิต เสียเวลาและค่าใช้จ่ายที่เพิ่มขึ้น

นักวิจัยหลายท่านให้ความสนใจกับปัญหาระยะหนึ่งที่เกิดขึ้นกับมอเตอร์ อาทิเช่น ในปี 2002 Jason D. Ede และคณะได้ทำการศึกษาสภาพการใช้แบบจำลองมอเตอร์แบบไฟฟ้าแปลงถ่าน โดยทำการวิเคราะห์หาค่าความถี่ธรรมชาติด้วยวิธีไฟฟ้าในตัวอิเล็กทรอนิกส์ พร้อมทั้งศึกษาตัวแปรที่มีอิทธิพลต่อความถี่ธรรมชาติด้วย ฯ เช่น ขนาดเส้นผ่าศูนย์กลางของโรเตอร์, และคุณสมบัติของวัสดุในมอเตอร์แบบไฟฟ้าแปลงถ่าน [1] และในปี 2003 F. Ishibashi และคณะ ทำการศึกษาหาความถี่ธรรมชาติในของสเตเตอร์ และข้อความของมอเตอร์เหนี่ยวนำขนาดเล็ก โดยทำการวิเคราะห์ความถี่ธรรมชาติเฉพาะที่ใหมด 2 (ในมอเตอร์ดังกล่าว

* Corresponding Author

ต้องการหลีกเลี่ยงความถี่ในโหนดที่ 2 โดยใช้เทคนิค two-mass two-degrees-of-freedom และนำผลที่ได้ไปเปรียบเทียบกับวิธีไฟฟ้าในตัวอิเล็กทรอนิกส์ พบว่ามีผลที่ใกล้เคียงกัน [2]

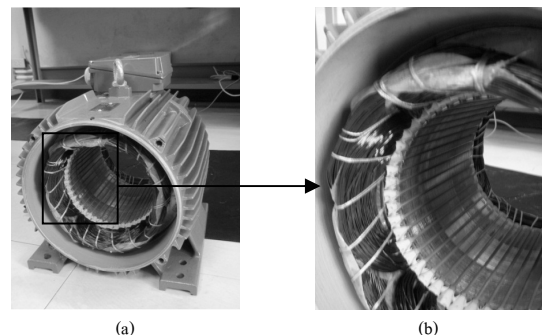
Jeong-Jong Lee และคณะ ได้ทำการศึกษาการสูญเสียของแกนเหล็กในอินเดกชั่นモเตอร์ 3 เฟส การสูญเสียในแกนเหล็ก เป็นผลกระทบมาจาก อัตราความของการเปลี่ยนแปลงของความหนาแน่นฟลักซ์แม่เหล็ก โดยปกติการสูญเสียในแกนเหล็กจะเกิดขึ้นทั้งที่แกนเหล็กสเตเตเตอร์และโรเตอร์ และการสูญเสียในแกนเหล็กของโรเตอร์จะมีค่าน้อยกว่าที่สเตเตเตอร์ เนื่องจากค่าความหนาแน่นสนามแม่เหล็กของโรเตอร์มีค่าคงที่ การสูญเสียของแกนเหล็กที่พื้นจะมีค่ามากกว่าบาริเวน yoke เพราะบริเวณพื้นมีการกระจาย อาจมีนิกส์ ฟลักซ์หนาแน่น จากผลการวิจัยสรุปได้ว่าที่บริเวณพื้นของสเตเตเตอร์และโรเตอร์จะมีกำลังสูญเสียแกนเหล็กมากที่สุด เพราะบริเวณดังกล่าวมีความหนาแน่นสนามแม่เหล็กมากที่สุด [3]

ด้วยเหตุนี้ การศึกษาและวิเคราะห์สมรรถนะมอเตอร์ เหนี่ยวนำด้วยวิธีไฟฟ้าในตัวอิเล็กทรอนิกส์ (Finite Element Method: FEM) เป็นวิธีที่นิยมใช้ในการวิเคราะห์ปัญหาทางวิศวกรรมอย่างกว้างขวาง ซึ่งวิธีนี้สามารถนำมาใช้กับปัญหาที่มีรูปร่างลักษณะซับซ้อนได้ ก็ได้ โดยสามารถจำลองรูปร่างลักษณะดังเดิมที่แท้จริงได้ใกล้เคียงและเที่ยงตรงกว่า โดยวิธีไฟฟ้าในตัวอิเล็กทรอนิกส์สามารถประมวลค่าผลเฉลยโดยการแก้สมการเชิงพิชคณิตแทนการแก้สมการเชิงอนุพันธ์ ทำให้สามารถทำงานอย่างอ่อนโยน เพื่อลดระยะเวลาในการคำนวณทางด้านคณิตศาสตร์ และเราก็สามารถที่จะเข้าใจการทำงานของมอเตอร์ได้มากขึ้น [4-5]

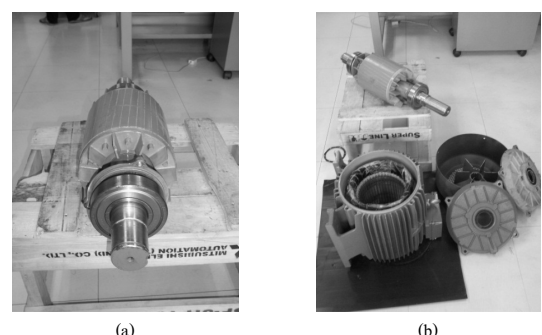
2. กรณีศึกษามอเตอร์เหนี่ยวนำตัวตนแบบ

รูปที่ 1 แสดงส่วนประกอบของมอเตอร์เหนี่ยวนำตัวตนแบบ มีขนาดพิกัดที่สำคัญ คือ กำลังไฟฟ้า 18.5 กิโลวัตต์ ระบบ 3 เฟส ความถี่ไฟฟ้า 50 เฮิร์ตซ์ ความเร็วรอบ 1,470 รอบต่อนาที รูปทรงโรเตอร์เป็นแบบชนิดบี (B Type) และตารางที่ 1 แสดงคุณสมบัติทางกลของวัสดุที่ใช้ในมอเตอร์ตัวตนแบบ ทั้งสเตเตเตอร์, โรเตอร์, โครงมอเตอร์, และขดลวดไฟฟ้า ทั้งนี้พารามิเตอร์เหล่านี้เป็นค่าที่ระบุในโปรแกรม ANSYS ซึ่งทาง

ผู้วิจัยจะนำไปใช้ในการประมาณผลด้วยวิธีจำลองไฟฟ้าในตัวอิเล็กทรอนิกส์



รูปที่ 1 มอเตอร์ตัวตนแบบ (a) สเตเตเตอร์ (b) ขดลวดสเตเตเตอร์



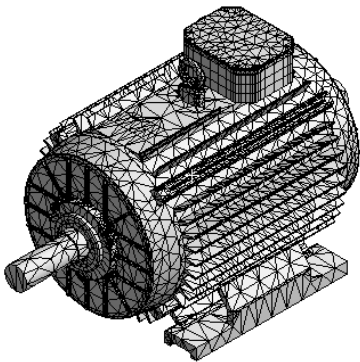
รูปที่ 2 มอเตอร์ตัวตนแบบ (a) โรเตอร์ (b) ส่วนประกอบต่างๆ ของมอเตอร์

ตารางที่ 1 คุณสมบัติทางกลของวัสดุ

		Stator, Rotor	Rotor bar	Coil
Type		M 54	Aluminum Alloy	Copper
Electromagnetic	Relative Permeability	B-H	1	1
	Resistivity (Ohm.m)	B-H	5.7e-008	1.724e-008
Structural	Young's Modulus (Pa)	2e011	7.1e+010	1.1e+011
	Poisson's Ratio	0.3	0.33	0.34
	Density (kg/m³)	7850	2770	8300
	Thermal Expansion (1/°C)	1.2e-005	2.3e-005	1.8e-005

3. แบบจำลองมอเตอร์ด้วยวิธีไฟฟ้าในตัวอิเล็กทรอนิกส์

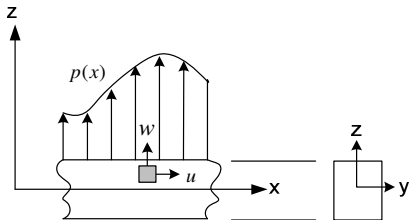
รูปที่ 4 แสดงเมฆของมอเตอร์เหนี่ยวนำโนแมลแบบจำลองไฟฟ้าในตัวอิเล็กทรอนิกส์และกำหนดค่าวัสดุให้เป็นชนิดเดียวกันกับมอเตอร์ตัวตนแบบ



รูปที่ 3 เมฆของโมเดอร์ต้นแบบด้วยการจำลองไฟฟ้าในตัวอิเล็กทรอนิกส์

4. การวิเคราะห์โดยแบบจำลองไฟฟ้าในตัวอิเล็กทรอนิกส์

4.1 การวิเคราะห์ปัญหาการสั่นสะเทือนโดยวิธีไฟฟ้าในตัวอิเล็กทรอนิกส์
การวิเคราะห์การสั่นสะเทือนของวัตถุที่มีรูปทรงคล้ายคาน [1,4-5] (ในกรณีที่ใช้โรเตอร์มาพิจารณา) สามารถนำการวิเคราะห์คานมาอ้างอิงได้ รูปที่ 4 แสดงส่วนหนึ่งของการที่วางแผนแกน x และมีพื้นที่หน้าตัดในระบบ $y-z$ หากคานนี้ถูกแรงแบบกระจาย (Distributed Load) $p(x)$ มากระทำดังแสดง ในรูปก่อให้เกิดการโถ่ด้วยค่าเคลื่อนตัว w ในแกน z และการยึดตัว u ในแกน x



รูปที่ 4 การโถ่และยึดตัวของคานเมื่อถูกแรงกระทำ

สมการเชิงอนุพันธ์ที่เกี่ยวข้องกับการโถ่ของคานอันเนื่องมาจากแรงแบบกระจาย คือ

$$\frac{d^2}{dx^2} \left(EI \frac{d^2 w}{dx^2} \right) - p(x) = 0 \quad (1)$$

เมื่อ E แทนค่าโมดูลัสความยืดหยุ่นของวัสดุที่ใช้ทำคาน และ I แทนโมเมนต์ความเพื่อยของพื้นที่หน้าตัด (Moment of Inertia of Area)

จากสมการเชิงอนุพันธ์ (1) สามารถใช้วิธีถ่วงน้ำหนักศูนย์ตกล้านเพื่อปรับใช้สมการไฟฟ้าในตัวอิเล็กทรอนิกส์ในการแก้ปัญหาการโถ่ของคาน

โดยพิจารณาความเครียดในวัตถุ U^* ที่เกิดขึ้นจากการของแรงภายนอก V^* สามารถแสดงได้เป็น

$$U^* = \frac{1}{2} \int_v \sigma_x \varepsilon_x dV \quad (2)$$

$$\text{เมื่อแทน } \sigma_x = E \varepsilon_x \text{ โดย } \varepsilon_x = \frac{du}{dx} = -z \frac{d^2 w}{dx^2}$$

และพลังงานศักย์ที่เกิดขึ้นจากแรงภายนอก คือ

$$V^* = -Work = - \int_0^L p(x)w(x)dx \quad (3)$$

ดังนั้น พลังงานศักย์รวมที่เกิดขึ้นทั้งหมด [5] คือ

$$J = \frac{1}{2} \int_0^L EI \left(\frac{d^2 w}{dx^2} \right)^2 dx - \int_0^L p(x)w(x)dx \quad (4)$$

4.2 การวิเคราะห์ปัญหาทางแม่เหล็กไฟฟ้าโดยวิธีไฟฟ้าในตัวอิเล็กทรอนิกส์

การวิเคราะห์ปัญหาทางแม่เหล็กไฟฟ้าโดยวิธีไฟฟ้าในตัวอิเล็กทรอนิกส์ เป็นปัญหาที่ต้องแก้โดยใช้สมการของแมกซ์เวล (Maxwell's Equation) และมีเงื่อนไขขอบเขต (Boundary Condition) ที่แตกต่างกันซึ่งเป็นตัวกำหนดค่าปัญหาขอบเขต (Boundary-Value Problem) ที่จะแก้ปัญหาโดยการประยุกต์ใช้วิธีไฟฟ้าในตัวอิเล็กทรอนิกส์ สมการของแมกซ์เวลสามารถอธิบายถึงปริมาณและความสัมพันธ์ต่างๆ ในบริเวณใดบริเวณหนึ่ง ซึ่งจะเป็นเช็ตของสมการพื้นฐานที่ควบคุม

ปรากฏการณ์ทางแม่เหล็กไฟฟ้าทั้งหมดที่มองเห็นด้วยตาเปล่า สามารถของแมกซ์เวลสามารถอธิบายในรูปของการอนุพันธ์และการอินทิกรัล

สมการของแมกซ์เวลในรูปแบบอนุพันธ์ทั่วไป สำหรับสนามที่เปลี่ยนเวลาทั่วไป สามารถเขียนได้เป็น [5]

$$\nabla \times E + \frac{\partial B}{\partial t} = 0 \quad (\text{กฎของฟาราเดีย}) \quad (5)$$

$$\nabla \times H - \frac{\partial D}{\partial t} = J' \quad (\text{กฎของแมกซ์เวล-แอมเปอร์}) \quad (6)$$

$$\nabla \cdot D = \rho \quad (\text{กฎของเกาส์}) \quad (7)$$

$$\nabla \cdot B = 0 \quad (\text{กฎของเกาส์-แม่เหล็ก}) \quad (8)$$

เมื่อ E คือ ความเข้มของสนามไฟฟ้า (Volts/m),

D คือ ความหนาแน่นของฟลักซ์ไฟฟ้า (Coulombs/m²),

H คือ ความเข้มของสนามแม่เหล็ก (A/m),

B คือ ความหนาแน่นของฟลักซ์แม่เหล็ก (Webers /m²),

J' คือ ความหนาแน่นของกระแสไฟฟ้า (A/m²)

ρ คือ ความหนาแน่นของประจุไฟฟ้า (Coulombs /m³)

สมการพื้นฐานสมการหนึ่งที่เรียกว่า “สมการของความต่อเนื่อง” สามารถเขียนได้เป็น

$$\nabla \cdot J = -\frac{\partial \rho}{\partial t} \quad (9)$$

การหาค่าผลเฉลยโดยประมาณ โดยวิธีไฟโนต์อเลิมอนต์ โดยพิจารณาพื้นที่หน้าตัดของรูปร่างปัญหาตามระนาบพิกัด x, y ซึ่งแบบจำลองทางคณิตศาสตร์ของสนามแม่เหล็กเมื่อพิจารณาในสภาวะชั่วครู่สำหรับปัญหาการที่เชี่ยน 2 มิติ สามารถแสดงได้ในรูปของสมการอนุพันธ์ย่อขั้นดับสองดังนี้

$$\frac{\partial}{\partial x} \left(\frac{1}{\mu} \frac{\partial A}{\partial x} \right) + \frac{\partial}{\partial y} \left(\frac{1}{\mu} \frac{\partial A}{\partial y} \right) = -J + \sigma \frac{\partial A}{\partial t} \quad (10)$$

เมื่อ A คือ เวกเตอร์ไฟฟ้าเรียงแม่เหล็ก ที่ต้องการทราบค่า, μ คือ ความซับซึมผ่านได้ของแม่เหล็ก, σ คือ สภาพนำทางไฟฟ้า, ω คือ ความเร็วเชิงมุม, J คือ ความหนาแน่นของกระแสที่ได้จากแหล่งจ่ายพลังงานภายนอก และ i คือ ตัววนจินตภาพ ในส่วนของเทอม $\sigma(\partial A / \partial t)$ แทนค่ากระแสไฟฟ้าหนึ่ง卽ในวัสดุตัวนำเมื่อมีการเปลี่ยนแปลงของลักษณะแม่เหล็กตามเวลา

4.3 การวิเคราะห์ปัญหาทางความร้อนโดยวิธีไฟโนต์อเลิมอนต์

ในการวิเคราะห์ถ่ายเทความร้อนโดยวิธีไฟโนต์อเลิมอนต์ ในโปรแกรม ANSYS จำเป็นต้องใส่ค่าแหล่งกำเนิดความร้อน (Heat Generation) โดยกระแสไฟฟ้าในขดลวดตัวนำแต่ละเฟส และโรเตอร์บาร์ของอินดักชั่นมอเตอร์ 3 เฟส จะนำไปสู่แหล่งกำเนิดความร้อน (Heat Generation, Q) (watts/m^3) ภายในมอเตอร์ โดยแหล่งกำเนิดพลังงานความร้อนที่เกิดขึ้นบนตัวนำในสเตเตอร์และโรเตอร์สามารถหาได้จากการ [8]

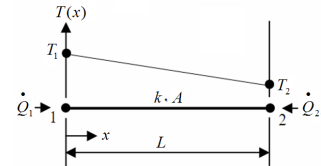
$$Q = \frac{i^2 R}{m^3} \quad (11)$$

เมื่อ i คือกระแสไฟ (A), R คือความต้านทานขดลวด (Ω)

m^3 คือปริมาตรขดลวด

จากกฎของฟูเรียร์ ที่ว่าปริมาณความร้อนนั้นขึ้นอยู่กับค่าสัมประสิทธิ์การนำความร้อน พื้นที่หน้าตัดและความชันอุณหภูมิ คือ

$$\dot{Q}_x = -kA \frac{\partial T}{\partial t} \quad (12)$$



รูปที่ 5 แสดงอเลิมอนต์แบบอ่อนตัวหัวบันการถ่ายเทความร้อน

ดังนั้น เมื่อแปลงเป็น Discretized Equation ได้ว่าจะได้สมการดังนี้

$$\begin{aligned} \dot{Q}_1 &= kA \frac{(T_1 - T_2)}{L} \Rightarrow \frac{kAT_1}{L} - \frac{kAT_2}{L} = \dot{Q}_1 \\ \dot{Q}_2 &= -kA \frac{(T_1 - T_2)}{L} \Rightarrow -\frac{kAT_1}{L} + \frac{kAT_2}{L} = \dot{Q}_2 \end{aligned} \quad (13)$$

แต่จากกฎของความสมดุลของการถ่ายเทความร้อนและจากภาพ 5 จะเห็นได้ว่า

$$\dot{Q}_1 = -\dot{Q}_2$$

นำสมการที่ (13) มาเขียนในรูปของเมตริกซ์ ได้คือ

$$\frac{kA}{L} \begin{bmatrix} 1 & -1 \\ 1 & -1 \end{bmatrix} \begin{bmatrix} T_1 \\ T_2 \end{bmatrix} = \begin{bmatrix} \dot{Q}_1 \\ \dot{Q}_2 \end{bmatrix} \quad (14)$$

หรือเขียนย่อได้เป็น

$$[k][T] = [\dot{Q}] \quad (15)$$

เมื่อ $[k]$ เรียกว่า อเลิมอนต์เมตริกซ์ของการนำความร้อน

$[T]$ เรียกว่า เมทริกซ์ของอุณหภูมิที่จุดต่อ

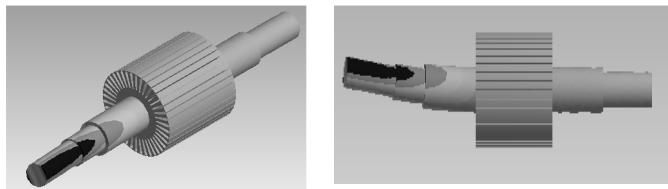
$[\dot{Q}]$ เรียกว่า เมทริกซ์ปริมาณความร้อนจากนอกอเลิมอนต์เข้าที่จุดต่อ

5. ผลและวิเคราะห์ผลการทดลอง

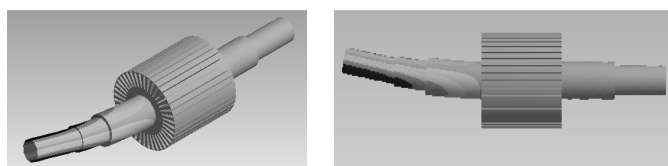
5.1 วิเคราะห์ความถี่ธรรมชาติ

5.1.1 โรเตอร์

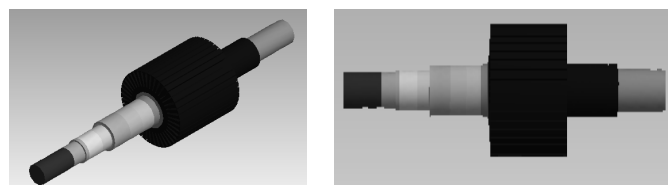
จากการวิเคราะห์ความถี่ธรรมชาติที่เกิดขึ้นในโรเตอร์ เป็นการวิเคราะห์จากวิธีไฟโนต์อเลิมอนต์ เพื่อศึกษารูปแบบการสั่นของโรเตอร์ โดยรูปแบบการสั่นของโรเตอร์ที่ได้ทำการวิเคราะห์ที่ย่านความถี่ 0-8,000 Hz โดยการกำหนดเงื่อนไขแกนเหล็กเป็นแบบคานยึด [3] ซึ่งจะได้รูปแบบการสั่นสะเทือน 4 โหนดด้วยกันดังรูปที่ 6



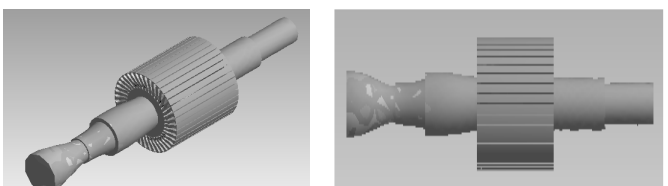
1st Sway Mode - 630 Hz



1st Bending Mode - 2,430 Hz



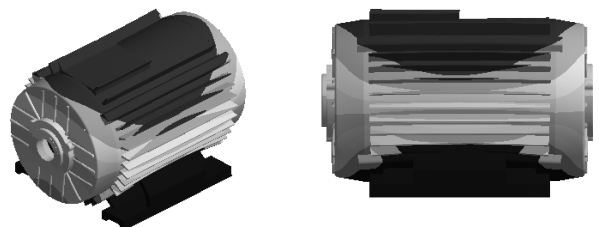
1st Flexible Mode - 4,500 Hz



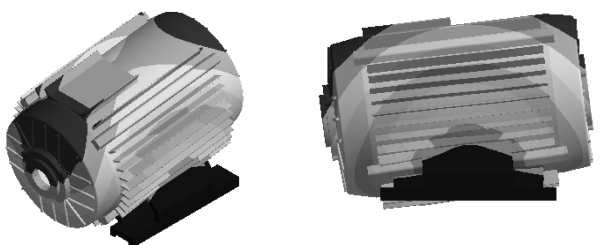
Rotational Mode - 5,630 Hz

5.1.2 โครงมอเตอร์

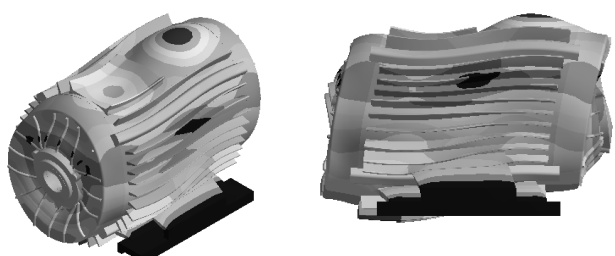
จากการวิเคราะห์ความถี่ธรรมชาติที่เกิดขึ้นในโครงมอเตอร์ เป็นการวิเคราะห์จากวิไฟในตัวอุปกรณ์ เพื่อศึกษารูปแบบการสั่นของโครงมอเตอร์ โดยรูปแบบการสั่นของโครงเตอร์ที่ได้ทำการวิเคราะห์ที่บันทุมีที่ 0 – 8,000 Hz โดยการกำหนดเงื่อนไขแกนเหล็กเป็นแบบคานยึด ซึ่งจะได้รูปแบบการสั่นสะเทือน 3 โหมดด้วยกันดังรูปที่ 8



1st Sway Mode - 960 Hz



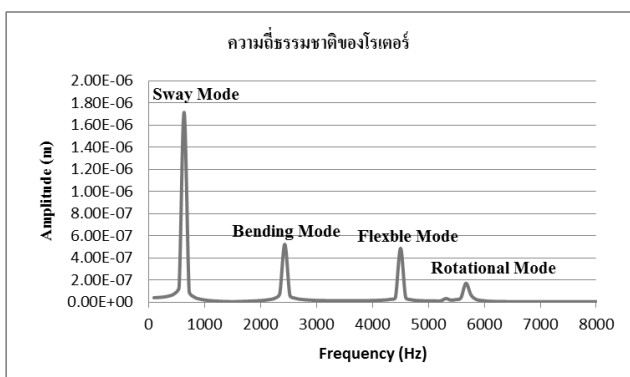
1st Bending Mode - 2,240 Hz



1st Flexible Mode - 4,000 Hz

รูปที่ 6 รูปแบบการสั่นสะเทือนของโรเตอร์

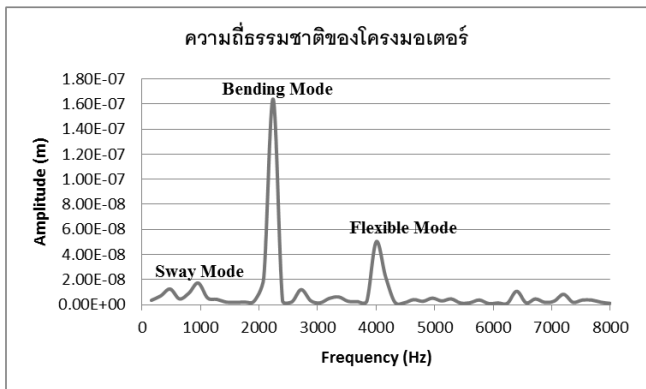
จากการวิเคราะห์การสั่นสะเทือนของโรเตอร์โดยใช้โปรแกรม ANSYS 13.0 เพื่อศึกษารูปแบบการสั่นของโรเตอร์ รูปที่ 7 แสดงผลตอบสนองความถี่ของการสั่นสะเทือนที่เกิดขึ้น และความถี่ของโรเตอร์ในโหมดต่างๆ โดยสัมพันธ์กับรูปที่ 6



รูปที่ 7 ผลตอบสนองความถี่ของการสั่นสะเทือนของโรเตอร์

รูปที่ 8 รูปแบบการสั่นสะเทือนของโครงมอเตอร์

จากการวิเคราะห์การสั่นสะเทือนของโครงมอเตอร์โดยใช้โปรแกรม ANSYS 13.0 โดยกำหนดเงื่อนไขแกนเหล็กแบบคานยึด รูปที่ 9 แสดงผลตอบสนองความถี่ของการสั่นสะเทือน เกิดขึ้น และความถี่ของโครงมอเตอร์ในโหมดต่างๆ โดยสัมพันธ์กับรูปที่ 8



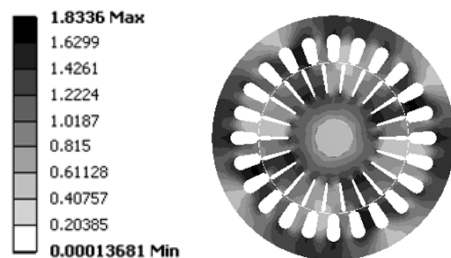
รูปที่ 9 ผลตอบสนองความถี่การสั่นสะเทือน โครงมอเตอร์

ผลการศึกษาและวิเคราะห์การสั่นสะเทือนในโรเตอร์ และโครงมอเตอร์ พบว่ารูปแบบการสั่นสะเทือนในโรเตอร์มี การเปลี่ยนแปลงอยู่ด้วยกัน 4 โหมด โดยมีโหมดของการแกว่ง ตัวของ โรเตอร์ (Rotor Sway Mode), โหมดของการอัดหุ่นของโรเตอร์ (Rotor Bending Mode), โหมดการขัดหุ่นของโรเตอร์ (Rotor Flexible Mode) และ โหมดของการหมุนของโรเตอร์ (Rotor Rotational Mode) ส่วนผลการศึกษาและวิเคราะห์รูปแบบ การสั่นสะเทือนในโครงมอเตอร์ส่วนนี้จะไม่พับในโหมดของการหมุนของโครงมอเตอร์ (Frame Rotational Mode) เนื่องจาก โครงมอเตอร์ถูกยึดที่ฐานจึงไม่เกิดในโหมดนี้ การวิเคราะห์การสั่นสะเทือนพบว่าแต่ละส่วนประกอบของมอเตอร์ค่าความถี่ธรรมชาติของโครงสร้างนั้นๆ มีความแตกต่างกันขึ้นอยู่กับรูปทรงขนาดและวัสดุ

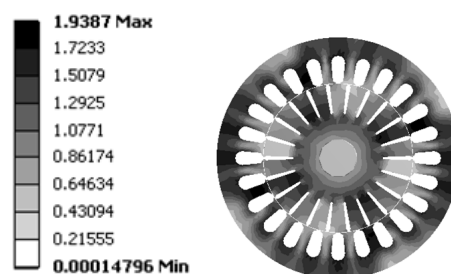
5.2 ค่าความหนาแน่นของเส้นแรงแม่เหล็ก

จากการวิเคราะห์ผลค่าความหนาแน่นของเส้นแรงแม่เหล็กไฟฟ้า โดยพิจารณาเป็น 2 กรณี ขณะมอเตอร์ไม่มีโหลด และขณะพิกัดโหลดจะเห็นการเปลี่ยนแปลงค่าความหนาแน่นของเส้นแรงแม่เหล็กไฟฟ้าภายในมอเตอร์ต้นแบบ ขณะที่มอเตอร์ทำงานไม่มีโหลดค่าความหนาแน่นของเส้นแรงแม่เหล็กสูงสุด 1.8336 T เมื่อให้มอเตอร์ทำงานที่พิกัดโหลดจะได้ค่าค่าความหนาแน่นของเส้นแรงแม่เหล็กสูงสุดที่ 1.9387 T ซึ่งสอดคล้องกับค่ากระแสที่เพิ่มขึ้น ผลการศึกษาและวิเคราะห์ค่าความหนาแน่นของเส้นแรงแม่เหล็กสามารถช่วยในการวิเคราะห์กำลังสูญเสียในมอเตอร์ โดยผลการทดลองจะได้ค่าความหนาแน่นสนามแม่เหล็ก (Magnetic Flux Density; B) แล้วนำค่าความหนาแน่นเส้นแรงแม่เหล็กคำนวณหากำลังสูญเสีย

แกนเหล็ก และผลของความหนาแน่นของเส้นแรงแม่เหล็กซึ่งส่งผลต่อความร้อนที่เกิดขึ้นภายในมอเตอร์ด้วยดังรูปที่ 10



(a)



(b)

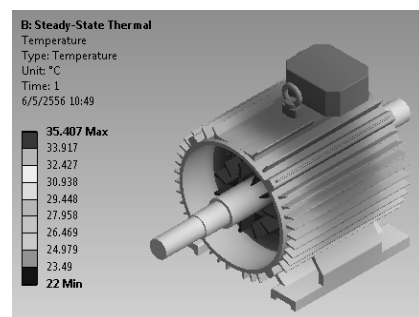
รูปที่ 10 ค่าความหนาแน่นเส้นแรงแม่เหล็กไฟฟ้า

(a) ขณะไม่มีโหลด (b) ขณะพิกัดโหลด

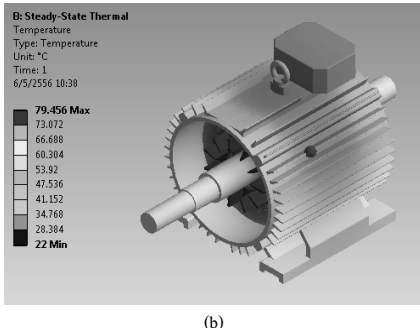
(b)

5.3 ความร้อน

จากการวิเคราะห์ผลทางความร้อนที่เกิดขึ้นภายในมอเตอร์ โดยพิจารณาเป็น 2 กรณี ขณะมอเตอร์ไม่มีโหลด และขณะพิกัดโหลดจะเห็นการเปลี่ยนแปลงของอุณหภูมิที่เกิดขึ้นภายในมอเตอร์ต้นแบบ ผลการวิเคราะห์ทางความร้อน ค่าความร้อนที่เกิดขึ้นภายในมอเตอร์ ผลจากการทดลองพบว่ามอเตอร์ทำงานขณะไม่มีโหลดอุณหภูมิสูงสุดอยู่ที่ 35.40 องศาเซลเซียส เมื่อมอเตอร์ทำงานขณะพิกัดโหลดพบว่าอุณหภูมิสูงสุดอยู่ที่ 79.45 องศาเซลเซียสซึ่งสอดคล้องกับผลการวิเคราะห์ค่าความหนาแน่นเส้นแรงแม่เหล็ก ดังรูปที่ 11



(a)



(b)

รูปที่ 11 การวิเคราะห์มอเตอร์เห็นยาน้ำทางความร้อน

(a) ขณะไม่มีโหลด (b) ขณะพิกัดโหลด

6. สรุป

มอเตอร์เห็นยาน้ำมีความถี่ธรรมชาติค่าหนึ่ง จะมีโอกาสที่มอเตอร์ตัวนั้น ได้รับความเสียหายจากการสั่นสะเทือน (เกิดปรากฏการณ์เรโซแนนซ์) การติดตั้งและใช้งานควรหลีกเลี่ยงความถี่ที่ใกล้กับความเสียหายก่อนมอเตอร์

ค่าความหนาแน่นของเส้นแรงแม่เหล็กมีผลต่อ)mอเตอร์ เมื่อมีความหนาแน่นของเส้นแรงแม่เหล็กมากส่งผลต่อการสูญเสียในแกนเหล็กควรหลีกเลี่ยงในสภาวะที่มอเตอร์ทำงานเกินพิกัด

การศึกษาและวิเคราะห์ผลทางความร้อน เพื่อหลีกเลี่ยงกรณีที่มอเตอร์ทำงานภายใต้สภาวะที่มีอุณหภูมิสูง อาจติดตั้งพัดลมระบายความร้อนเพื่อให้สามารถขึ้นอยู่การใช้งาน

7. กิตติกรรมประกาศ

บทความวิจัยฉบับนี้สำเร็จได้ด้วยความอนุเคราะห์ทางการเงินจากโครงการ การออกแบบตัวถังและช่วงล่างสำหรับรถไฟฟ้า ทุนสนับสนุนงานวิจัยประจำปีงบประมาณ 2555 มหาวิทยาลัยนเรศวร

8. เอกสารอ้างอิง

- [1] Jason D. Ede, Z. Q. Zhu, and D. Howe, "Rotor Resonances of High-Speed Permanent-Magnet Brushless Machines", IEEE Transactions on Industry Application, Vol. 38, No. 6, pp. 1542 - 1548, November/December 2002.
- [2] F. Ishibashi, K. Kamimoto, T. Hayashi, S. Noda and K. Itomi, "Natural frequency of stator core of small induction motor", IEE Proceeding Electric Power Application, Vol. 150, No. 2, pp. 1542 - 1548, March 2003.
- [3] Jeong-Jong Lee, Soon-O Kwon, Jung-pyo Hong, Ji-Hyun, "Core Loss Distribution of 3 Phase Induction Motor Using Numerical Method", Telecommunications Energy Conference, 2009.
- [4] ปราโมทย์ เเดชะอ่าໄ皮, ไฟไนต์เอลิเมนต์ในงานวิศวกรรม. กรุงเทพฯ:จุฬาลงกรณ์มหาวิทยาลัย, 2547
- [5] เดช พุทธเจริญทอง, การวิเคราะห์ด้วยวิธีไฟไนต์เอลิเมนต์. กรุงเทพฯ: ศูนย์ส่งเสริมกรุงเทพ, 1988.
- [6] มงคล ทองสุวรรณ, เครื่องกลไฟฟ้ากระแสสลับ. กรุงเทพฯ: รามาการพิมพ์ 2535
- [7] ศ.ดร. พิรุณเกย์ตร, การสั่นสะเทือนทางกล. กรุงเทพฯ: สำนักพิมพ์ท้อป จำกัด 2548
- [8] Yunkai Huang, Jianguo Zhu, Youguang Guo and Qiansheng Hu "Core Loss and Thermal Behavior of High – Speed SMC Motor Based on 3- D FEM " IEEE, Electric Machines & Drives Conference, 2007.